

# اولویت‌بندی عوامل مؤثر بر زمین لغزش و تهیه نقشه خطر آن با استفاده از مدل‌های ارزش اطلاعات و فرایند تحلیل سلسله مراتبی (مطالعه موردنی: بخشی از حوزه آبخیز هراز)

مجید محمدی<sup>۱</sup>، حمید رضا مرادی<sup>۲\*</sup>، سادات فیض نیا<sup>۲</sup> و حمید رضا پورفاسی<sup>۱</sup>

<sup>۱</sup>دانشگاه تربیت مدرس، دانشکده منابع طبیعی و علوم دریایی، مازندران، ایران.

<sup>۲</sup>دانشگاه تهران، دانشکده منابع طبیعی و کشاورزی، کرج، ایران.

تاریخ پذیرش: ۱۳۸۷/۰۷/۱۰ تاریخ دریافت: ۱۳۸۶/۰۷/۱۰

## چکیده

تخرب و استفاده زیاد از منابع باعث ناشی از تهیه نقشه‌های پهنه‌بندی برای شناسایی مناطق مستعد زمین لغزش و همچنین مکان‌های امن برای توسعه زیستگاه‌ها و سکونت‌گاه‌های جدید در آینده مورد توجه برنامه‌ریزان قرار دارد. در ایران بویژه در نواحی شمالی و مسیر جاده هراز، به خاطر شرایط خاص آب و هوایی و فیزیوگرافی همواره در معرض خطر زمین لغزش قرار دارد. به منظور تهیه نقشه خطر زمین لغزش ابتدا با مطالعات میدانی نقشه پراکنش زمین لغزش حوزه و سپس نقشه عوامل مؤثر بر زمین لغزش تهیه شد. در مرحله بعد عوامل با استفاده از فرایند تحلیل سلسله مراتبی اولویت‌بندی شده و هفت عامل به عنوان عوامل مؤثر انتخاب شد. سپس پهنه‌بندی خطر زمین لغزش در منطقه با استفاده از مدل‌های ارزش اطلاعات و فرایند تحلیل سلسله مراتبی انجام گرفت. نتایج نشان داد که سازندهای شمشک و پادگانهای آبرفتی، فاصله ۵۰۰ متری از جاده و ۴۰۰ متری از آبراهه، سوی شیب باختی، شیب ۱۵-۵۰ درصد، ارتفاع ۱۵۰۰-۲۱۰۰ و کاربری‌های مسکونی و باغ-کشاورزی بیشترین حساسیت را نسبت به زمین لغزش دارند.

**کلید واژه‌ها:** زمین لغزش، نقشه خطر زمین لغزش، سامانه اطلاعات جغرافیایی، مدل ارزش اطلاعات، تحلیل سلسله مراتبی، هراز.

\*نویسنده مسئول: حمید رضا مرادی

## ۱- مقدمه

می‌گذرد و بیش از ۳۵ کارگاه پرورش ماهی در مسیر رودخانه وجود دارد. برای فراهم کردن امنیت مسافران و کاهش خسارات مالی به منازل و تأسیسات حاشیه‌جاده انجام مطالعات در زمینه زمین لغزش در طول مسیر این جاده پرتردد ضروری است. هدف از این تحقیق اولویت‌بندی عوامل مؤثر بر زمین لغزش و تأثیر آن بر دقت نقشه پهنه‌بندی و در نهایت مقایسه کارایی مدل‌های ارزش اطلاعات و AHP در پهنه‌بندی خطر زمین لغزش در منطقه است. در مطالعات زمین لغزش در کشور با استفاده از AHP وزن فاکتورها با استفاده از روش دستی میانگین حسابی محاسبه شده است که دقت کافی ندارد. در این تحقیق وزن فاکتورها با استفاده از نرم افزار محاسبه شد که دقت را بالا برده و با محاسبه ضریب ناسازگاری موجب افزایش دقت کار است.

## ۲- مواد و روش‌ها

### ۲-۱. موقعیت منطقه مورد مطالعه

منطقه مورد مطالعه در استان مازندران و بخشی از زیر حوزه رودخانه هراز است. مقطع انتخابی بخشی از مسیر جاده ارتباطی بین شهرهای آمل و تهران به مساحت ۱۱۴ کیلومترمربع است. این مقطع در دو بروگه ۱:۵۰۰۰۰ به نام‌های شنگله و رینه قرار دارد. این مقطع بین طولهای جغرافیایی ۳۸°۰'۶" تا ۲۴°۵۰'۰" و ۵۲°۱۷'۰" خاوری و عرض‌های ۳۹°۴۹' تا ۳۵°۵۷' شمالي واقع شده و ارتفاع کمینه و بیشینه در منطقه به ترتیب ۱۲۰۰ و ۳۲۹۰ است (شکل ۱).

### ۲-۲. داده‌های مورد نیاز

پس از بررسی منابع و یافته‌های علمی مرتبط با موضوع، با استفاده از عکس‌های هوایی با مقیاس ۱:۲۵۰۰۰ همراه با بازدیدهای میدانی و ثبت موقعیت و مساحت لغزش‌ها با استفاده از GPS، نقشه پراکنش زمین لغزش در منطقه تهیه شد. نقشه توپوگرافی منطقه با مقیاس ۱:۵۰۰۰۰ از سازمان جغرافیایی نیروهای مسلح، نقشه زمین‌شناسی ۱:۱۰۰۰۰ از منطقه از سازمان زمین‌شناسی و اکتشافات معدنی کشور، نقشه کاربری

یکی از مشکلات طبیعی که امروزه با آن مواجه هستیم ناپایداری دامنه‌ای است که استفاده بیش از حد منابع طبیعی باعث تشید آن شده است. بررسی پدیده ناپایداری دامنه‌ای برای تهیه نقشه‌های پهنه‌بندی خطر زمین لغزش از یک سو به منظور شناسایی مناطق دارای قابلیت زمین لغزش در محدوده فعالیت‌های بشری حائز اهمیت بوده و از سوی دیگر برای شناسایی مکان‌های امن برای توسعه زیستگاه‌های جدید و یا سایر کاربری‌های آتی انسان نظری جاده‌ها، مسیرهای انتقال نیرو و انرژی و غیره در مقیاس‌های مختلف مورد توجه برنامه‌ریزان قرار دارد (سفیدگری و همکاران، ۱۳۸۴). در ایران به خاطر کوهستانی بودن بخش وسیعی از کشور وجود شیب‌های تند، بویژه در نواحی شمالی ایران، زمین لغزش از مشکلات عمده به شمار می‌رود. استراتژی مطالعه زمین لغزش شامل شناخت فرایند، تجزیه خطر و پیش‌بینی زمین لغزش در آینده برای کاهش پیشرفت و خسارات ناشی از آن است (Lan et al., 2004). به منظور بررسی زمین لغزش استفاده از مدل‌های دو متغیره و مدل‌های مبتنی بر نظر کارشناسی مورد توجه پژوهشگران قرار داشته و در سال‌های اخیر نیز از این مدل‌ها برای پهنه‌بندی زمین لغزش استفاده می‌شود. در برخی از تحقیقات (سیارپور، ۱۳۷۸، فناحی اردکانی، ۱۳۷۹، شیروانی و همکاران، ۱۳۸۴، شادرف و همکاران، ۱۳۸۴ و محمدی و همکاران، ۱۳۸۶) مدل ارزش اطلاعات و در برخی تحقیقات (محمدخان، ۱۳۸۰؛ کلارستاقی، ۱۳۸۱؛ احمدی و همکاران، ۱۳۸۲؛ احمدی و همکاران، ۱۳۸۴؛ محمدی و همکاران، ۱۳۸۶؛ Komac., 2006)، به منظور حاضر در بخشی از حوزه رودخانه هراز صورت گرفته که به خاطر شرایط آب و هوایی، فیزیوگرافی و تغییر کاربری با مشکل حرکات رخداده ای مواجه است. زمین لغزش از مهم‌ترین حرکات رخداده در منطقه است، به همین دلیل در این پژوهش پهنه‌بندی زمین لغزش مورد بحث قرار می‌گیرد. این حوزه از نظر اقتصادی بسیار حائز اهمیت است، مهم‌ترین جاده تهران- شمال از این حوزه

شد که روش کار بیان می‌گردد.

**مدل ارزش اطلاعات (Information Value):** پس از محاسبه تراکم سطح لغزش‌ها در کلاسه‌های مختلف عوامل، وزن دهی به هر یک از کلاسه‌ها با استفاده از رابطه ۱ انجام شد:

$$Winf = \ln [(A/B)/(C/D)] \quad (1)$$

که در آن A مساحت لغزش در هر واحد کاری، B مساحت هر واحد کاری، C مساحت کل لغزش، D مساحت کل منطقه و Winf وزن ارزش اطلاعات است. برای محاسبه وزن نهایی، لایه‌های ساخته شده در محیط ILWIS با هم تلفیق و از جمع جبری نقشه‌های وزنی، وزن نهایی به دست آمد. با وارد کردن این وزن‌ها در نقشه، نقشه پهنه‌بندی خطر لغزش به دست آمد (شادرف و همکاران، ۱۳۸۴).

**- فرایند تحلیل سلسه‌موابی (AHP):** در این مدل برای محاسبه وزن کلاسه‌های هر یک از عوامل، از تراکم سطح لغزش‌ها در کلاسه مورد نظر استفاده شد. سپس وزن هر عامل که از ماتریس وزن دهی به دست آمد در وزن کلاسه‌های آن ضرب شده و وزن نهایی مطابق رابطه (۲) برای منطقه مورد مطالعه به دست آمد. سپس مانند مدل ارزش اطلاعات این وزن در نقشه اعمال شده و نقشه پهنه‌بندی خطر زمین‌لغزش به دست آمد (احمدی و همکاران، ۱۳۸۴).

$$\text{رابطه (2)} \quad M = \frac{1}{292}x_1 + \frac{1}{225}x_2 + \frac{1}{168}x_3 + \frac{1}{131}x_4 + \frac{1}{60}x_5 + \frac{1}{40}x_6 + \frac{1}{34}x_7 \quad (2)$$

که در آن M عامل حساسیت و  $x_i$  تا  $x_7$  به ترتیب عوامل زمین‌شناسی، فاصله از جاده، درصد شب، فاصله از آبراهه، کاربری اراضی، ارتفاع و جهت شب است.

### ۳- ارزیابی مدل‌ها

در این پژوهش برای وزن دهی به لایه‌های مختلف اطلاعاتی از نقشه پراکنش زمین‌لغزش منطقه استفاده شد، لذا نمی‌توان برای ارزیابی نقشه‌های پهنه‌بندی، از نقشه پراکنش لغزش حوزه استفاده کرد (Remendo et al., 2003) برای رفع این مشکل، حدود یک سوم نقاط لغزشی در پهنه‌بندی استفاده شده و برای ارزیابی نقشه‌های خطر از این نقاط استفاده شد. به این صورت که یک سوم نقاط لغزشی که در پهنه‌بندی استفاده نشده‌اند را روی نقشه خطر اندامته و مقدار لغزش‌ها در طبقات مختلف خطر محاسبه شد (Ayalew et al., 2005; Komac., 2006; Neuhauser, 2006) در مرحله بعد با استفاده از رابطه (۳) میزان دقت مدل محاسبه شد.

$$\text{رابطه (3)} \quad P = \frac{ks}{s}$$

که در آن p احتمال تحریب، ks مساحت لغزش یافته در ردۀ‌های خطر متوسط به بالا و s مساحت کل لغزش‌های منطقه است. مدلی که میزان p آن بیشتر باشد برای پهنه‌بندی منطقه مناسب تر است (فاطمی عقدا و همکاران، ۱۳۸۲).

### ۴- بحث و نتیجه‌گیری

همان‌طور که گفته شد برای بررسی نقش هر یک از عوامل در وقوع زمین‌لغزش، نقشه پراکنش لغزش‌ها، با نقشه‌های مذکور تلفیق شده و تراکم لغزش‌ها به دست آمد که نتایج حاصل در جدول‌های ۲ تا ۸ را به شده است.

نقشه پهنه‌بندی زمین‌لغزش با استفاده از مدل‌های ارزش اطلاعات و AHP بر اساس روابط ۱ و ۲ با مقیاس ۱:۵۰۰۰۰ به دست آمد که در شکل ۳ و نشان داده شده است. بررسی ارتباط سازندهای زمین‌شناسی با وقوع زمین‌لغزش نشان داد که در بین سازندهای زمین‌شناسی، سازنده شمشک (متشكل از ماسه‌سنگ، سیلتستون، شیل و رس‌سنگ) و پادگانه‌های آبرفتی بیشترین حساسیت را دارند که با مطالعات شادرف و همکاران (۱۳۸۴)، (۲۰۰۳) Ohlmacher et al. و Ayalew & Yamagashi (2005) همخوانی دارد. همچنین فاصله ۵۰۰ متری از جاده و ۴۰۰ متری آبراهه بیشترین

اراضی منطقه از سازمان جنگل‌ها و مراتع و نقشه عناصر خطی شامل گسل، جاده و شبکه آبراهه‌ها از روی نقشه زمین‌شناسی و توپوگرافی منطقه تهیه شد. نقشه بارش منطقه نیز از میان بایی ایستگاه‌های داخل و مجاور حوزه به دست آمد. در مرحله بعد، نقشه‌های بالا رقومی و نقشه شب، جهت شب و طبقات ارتفاعی نیز از روی نقشه توپوگرافی تهیه شد. همچنین در محیط GIS مقیاس نقشه‌ها یکسان شد.

### ۴-۱. اولویت‌بندی عوامل مؤثر بر زمین‌لغزش

در این پژوهش از AHP که جزو مدل‌های چند معیاره تصمیم‌گیری است، برای اولویت‌بندی عوامل مؤثر استفاده شد. AHP یک روش نیمه کیفی در مطالعه زمین‌لغزش است که شامل یک ماتریس وزن دهی بر مبنای مقایسات زوجی بین عوامل بوده و میزان مشارکت هر یک از عوامل را در موقع زمین‌لغزش مشخص می‌کند (Ayalew et al., 2005). از مزایای این روش این است که اعمال نظر کارشناسی توسط افراد را تا حد زیادی آسان تر کرده و احتمال خطا را کاهش می‌دهد، همچنین در این روش می‌توان تعداد زیادی از عوامل را دخالت داد و با استفاده از نظر کارشناسی وزن هر عامل را به دست آورد (کلارستاقی، ۱۳۸۱). روش کار به شرح زیر است:

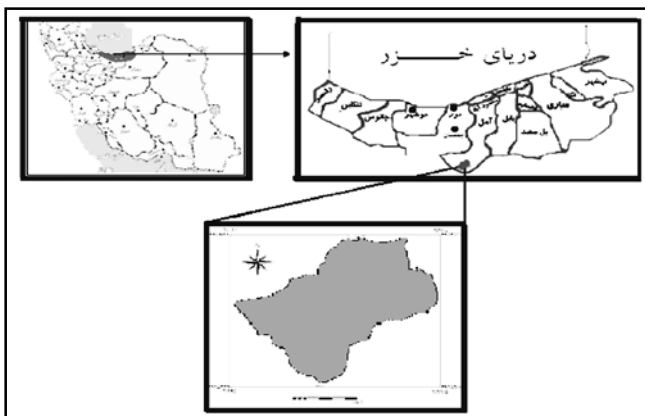
برای وزن دهی به هر عامل، قسمت‌هایی که به طور تقریبی از نظر ویژگی‌های دیگر مشابه بوده و عامل مورد نظر تغییر می‌کند در نظر گرفته می‌شود و با مشاهده تغییرات این عامل و تأثیر آن بر موقع لغزش‌ها، با استفاده از جدول ۱ بر اساس نظر و دید کارشناس نسبت به منطقه، عوامل به صورت دو به دو با هم مقایسه و یکی از وزن‌های جدول انتخاب می‌شود که بستگی به دقت عمل، تجربه و میزان آشنایی کارشناس با منطقه دارد. در جدول ۱ منظور از ترجیحات میزان اثرگذاری یک عامل بر روی موقع لغزش نسبت به عامل دیگر است. به این ترتیب کلیه عوامل نسبت به یکدیگر مقایسه شدند. نتایج این مقایسه‌ها به صورت یک ماتریس به نرم افزار Expert Choice وارد شد. به عنوان مثال عدد ۳ در سطر ۱ و ستون ۲ به این معنی است که نقش عامل زمین‌شناسی نسبت به شب در موقع زمین‌لغزش کمی مهم‌تر است. در این نرم افزار وزن هر یک از عوامل محاسبه و بر اساس این وزن، عوامل اولویت‌بندی شدند (شکل ۲). همچنین این نرم افزار ضریب ناسازگاری (Inconsistency Ratio) را محاسبه می‌کند که اگر کمتر از ۰/۱ باشد قابل قبول بوده و در غیر این صورت دوباره در وزن دهی تجدید نظر می‌شود (قدسی پور، ۱۳۸۴). حال از بین عوامل موجود ۷ عامل شامل زمین‌شناسی، فاصله از جاده، شب، فاصله از آبراهه، کاربری اراضی، ارتفاع و جهت شب که به ترتیب بیشترین تأثیر را بر موقع زمین‌لغزش دارند، برای پهنه‌بندی استفاده شدند. انتظار این است که در اطراف گسل‌ها و با افزایش بارندگی، میزان زمین‌لغزش‌ها افزایش باید. در منطقه تراکم لغزش‌ها در کلاسه‌های عوامل مورد مطالعه نشان داد که برخلاف انتظار، در اطراف گسل‌ها لغزش افزایش نمی‌یابد. همچنین بیشتر لغزش‌ها در مناطق با بارندگی کم رخداده‌اند. این مستلزم نشان می‌دهد که دیگر عوامل تأثیر این عوامل را پوشش داده و بیشتر در موقع لغزش مؤثرند. همان‌طور که در خروجی نرم افزار AHP نشان داده شده است عوامل بر اساس وزن‌شان اولویت‌بندی شدند. عامل گسل و بارندگی کمترین وزن را به خود اختصاص داده و به همین دلیل در پهنه‌بندی استفاده نشدند.

### ۴-۲. محاسبه تراکم سطح لغزش‌ها

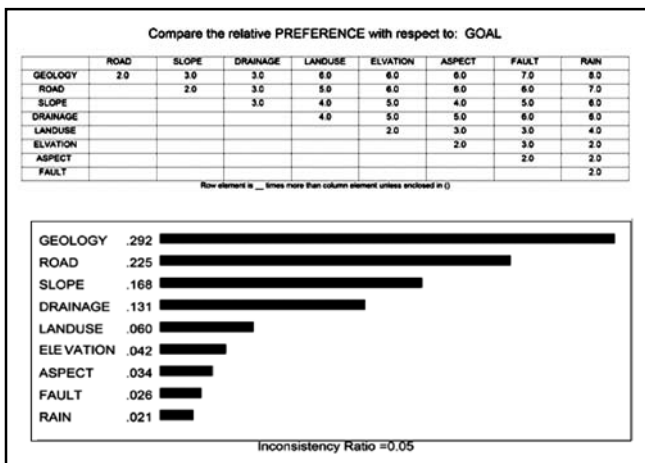
برای سنجش نقش عوامل بر روی زمین‌لغزش کلیه نقشه‌های عامل با نقشه پراکنش زمین‌لغزش در محیط ILWIS تلفیق و واحدهای کاری همگن به دست آمد. سپس مساحت لغزش‌ها در هر واحد کاری محاسبه شد.

### ۴-۳. پهنه‌بندی زمین‌لغزش

در این تحقیق برای پهنه‌بندی زمین‌لغزش از دو مدل ارزش اطلاعات و AHP استفاده



شکل ۱- موقعیت منطقه مورد مطالعه بر روی نقشه ایران و استان



شکل ۲- وزن هر یک از عوامل مؤثر در خروجی نرم افزار Expert Choice

جدول ۲- پراکنش لغزش در سازندگان مختلف

|   | واحد زمین شناسی | مساحت لغزش (A) | مساحت طبقات (B) | تراکم سطح (C/D) |
|---|-----------------|----------------|-----------------|-----------------|
| ۱ | A               | ۲۵۰            | ۱۴۷۵۲۷۶۱        | ۰/۱۹۱۸۷۴        |
| ۲ | B               | ۰              | ۱۱۲۸۸۴۹۷        | ۰/۰۰۹۰۳         |
| ۳ | C               | ۴۷۹۰           | ۱۸۶۲۹۸۴۵        | ۰/۹۰۱۹۱۹        |
| ۴ | D               | ۲۰۵            | ۶۵۰۰۶۱۰         | ۰/۳۵۵۹۸۲        |
| ۵ | E               | ۰              | ۲۹۴۶۲۸          | ۰/۰۳۸۲۶۲        |
| ۶ | F               | ۰              | ۱۹۷۵۲۹۴         | ۰/۰۰۵۷۵۶        |
| ۷ | G               | ۲۸۵            | ۱۵۳۱۹۰۸         | ۰/۲۰۹۹۳۲        |
| ۸ | H               | ۳۱۰            | ۱۱۹۹۰۶۰۳        | ۰/۹۱۸۰۵۹        |
| ۹ | I               | ۱۵۰۸           | ۳۳۶۶۶۷۹۲        | ۰/۵۰۵۵۳         |

(A) سنگ‌های آذرآواری شامل توف‌های سبز، توف‌های شیشه‌ای و خاکستر توف، (B) آهک‌های مارنى و مطبق، آهک‌دولومیتی نازک‌لايه خاکستری و به ندرت قرمز و زرد، (C) سنگ‌های آواری به رنگ قهوه‌ای زیتونی از نوع ماسه‌سنگ و شیل‌های سیلتی و رسی، (D) سنگ‌های آهکی دانه‌ریز و متراکم به رنگ روشن، (E) سازند ماسه‌سنگی با ستبرای کم، (F) مشکل از کلگو مرمری پلی‌زنیک، ماسه‌سنگ قرمز و مارن ماسه‌ای و سنگ‌های آهکی نولومیت‌دار، (G) سنگ‌های آذرین کواترنر، (H) پادگانه‌های آبرفتی، (I) واریزه‌ها.

حساسیت را نسبت به لغزش دارند که می‌تواند به خاطر بریدگی ناشی از این عوامل، فشار حاصل از وزن اضافی در جاده‌ها و افزایش رطوبت در اطراف آبراهه‌ها باشد. آبراهه‌ها همچنین بر اثر فرسایش رودخانه‌ای و سایش دیواره کنار رودخانه باعث به هم خوردن تعادل شیب و در نتیجه ناپایداری دامنه‌های مشرف به رودخانه می‌گردد. شادفر و همکاران (۱۳۸۴)، فاطمی عقدا و همکاران (۱۳۸۲)، (Lee et al. 2007) و Duman et al. (2005) نیز به نتایج مشابهی بروز افزایش زمین‌لغزش در اطراف جاده و آبراهه‌ها رسیدند.

بررسی‌های مربوط به جهت شیب نشان داد که شیب باختり بیشترین تأثیر را در موقع لغزش نسبت به جهت‌های دیگر دارد. در منطقه مورد مطالعه جهت غالب وزش باد باران آور باختり است، لذا دامنه‌های باختری چون رو به باد قرار دارند، رطوبت بیشتری دریافت نموده، لذا پدیده خاکزایی و سترای خاک در آنها بیشتر است. بررسی درصد شیب نیز نشان داد که شیب ۵۰-۳۰ و ۱۵-۳۰ درصد بیشترین حساسیت را نسبت به لغزش دارند که با مطالعات احمدی و همکاران (۱۳۸۴) و شادفر و همکاران (۱۳۸۴) همخوانی دارد. در شیب‌های کم به طور معمول نیروهای مقاوم بیشتر از نیروهای محرك بوده و در شیب‌های خیلی زیاد نیز خاک تجمع نمی‌یابد که منجر به وقوع زمین‌لغزش شود. به همین خاطر در شیب‌های متوسط (۱۵-۵۰ درصد)، بیشترین میزان زمین‌لغزش مشاهده شده است. بررسی طبقات ارتفاع نشان داد که طبقات ۱۵۰۰-۱۸۰۰ و ۱۸۰۰-۲۱۰۰ در شیب‌های کم به سمت رفته را نسبت به زمین‌لغزش دارند. در اتفاقات بالا بارش "معمول" به صورت برف بوده و چیزی بودن پدیده یخ‌بندان در بخش بزرگی از سال باعث کندی پدیده خاکزایی و در نتیجه کاهش زمین‌لغزش می‌شود. درین کاربری‌های مختلف نیز مناطق مسکونی و باغ کشاورزی بالاترین حساسیت را به وقوع زمین‌لغزش دارد. دخالت‌های بیش از حد در طبیعت و افزایش ساخت و ساز و در نتیجه ایجاد تغییر در تعادل شیب دامنه و افزایش بار اضافی بر دامنه می‌تواند دلیل اصلی ناپایداری دامنه و افزایش زمین‌لغزش باشد.

در ارزیابی مدل با استفاده از رابطه ۳ برای مدل ارزش اطلاعات و AHP میزان p به ترتیب ۰/۴۳ و ۰/۰۰۰ به دست آمد که حاکی از مناسب بودن این مدل‌ها برای پهنه‌بندی زمین‌لغزش در منطقه است. منطقه مورد مطالعه در مجموع پتانسیل بالایی برای وقوع زمین‌لغزش دارد و با توجه به شرایط حوزه پیشنهاد می‌شود که در هرگونه سرمایه‌گذاری و احداث سازه باید ویژگی‌های زمین‌شناسی و فیزیوگرافی منطقه مدنظر قرار گیرد تا باعث تحریک و افزایش حرکات نشود.

جدول ۱- مقادیر ترجیحات و قضاوت کارشناسی

| مقدار عددی | ترجیحات                              |
|------------|--------------------------------------|
| ۹          | کاملاً " مهم تر یا کاملاً " مطلوب تر |
| ۷          | اهمیت خیلی قوی                       |
| ۵          | اهمیت یا مطلوبیت قوی                 |
| ۳          | کمی مطلوب تر یا کمی مهم تر           |
| ۱          | اهمیت یا مطلوبیت یکسان               |
| ۸ و ۲،۴    | اولویت بین فوائل                     |

جدول ۴- پراکنش لغزش در طبقات مختلف شیب

جدول ۳- پراکنش لغزش در طبقات مختلف فاصله از جاده بر حسب متر

| ردیف | طبقات<br>شیب | مساحت<br>لغزش(A) | مساحت<br>طبقات(B) | تراکم سطح<br>(C/D)/(A/B) |
|------|--------------|------------------|-------------------|--------------------------|
| ۱    | ۰-۵          | ۰                | ۱۶۲۹۲۲۰           | ۰/۰۰۶۸۸۵                 |
| ۲    | ۵-۱۵         | ۱۵۰              | ۶۸۲۰۱۷۲           | ۰/۲۴۸۱۹۴                 |
| ۳    | ۱۵-۳۰        | ۱۸۵۵             | ۱۳۸۴۰۸۶۵          | ۱/۵۱۲۶۴۱                 |
| ۴    | ۳۰-۵۰        | ۵۱۳۰             | ۲۷۵۶۵۶۴۵          | ۲/۱۰۰۴۵۱                 |
| ۵    | ۵۰-۷۰        | ۱۳۷۸             | ۳۰۰۲۶۰۵۱          | ۰/۵۱۷۹۴۶                 |
| ۶    | >۷۰          | ۱۶۲۵             | ۳۳۹۰۰۵۰۴          | ۰/۵۴۰۹۷۱                 |

| ردیف | فاصله از جاده | مساحت طبقات(A) | مساحت طبقات(B) | تراکم سطح<br>(C/D)/(A/B) |
|------|---------------|----------------|----------------|--------------------------|
| ۱    | ۰-۳۰۰         | ۴۵۲۰           | ۳۳۸۸۲۱۲۸       | ۱/۵۰۵۶۴۳                 |
| ۲    | ۳۰۰-۵۰۰       | ۲۱۶۰           | ۱۵۹۶۴۰۲۱       | ۱/۵۲۷۰۸۸                 |
| ۳    | >۵۰۰          | ۳۴۵۸           | ۶۴۵۷۲۴۸۰       | ۰/۶۰۴۴۰۲                 |

جدول ۵- پراکنش لغزش در طبقات مختلف فاصله از آبراهه

| ردیف | فاصله از آبراهه | مساحت لغزش(A) | مساحت طبقات(B) | تراکم سطح<br>(C/D)/(A/B) |
|------|-----------------|---------------|----------------|--------------------------|
| ۱    | ۰-۲۰۰           | ۵۴۰۰          | ۴۶۸۹۶۳۴۲       | ۱/۲۹۹۶۶۱                 |
| ۲    | ۲۰۰-۴۰۰         | ۲۸۰۳          | ۲۹۰۸۸۰۰۸       | ۱/۰۸۷۵۸۵                 |
| ۳    | >۴۰۰            | ۱۹۳۵          | ۳۸۴۳۴۲۷۹       | ۰/۵۶۸۲۸۴                 |

جدول ۶- پراکنش لغزش در طبقات مختلف کاربری

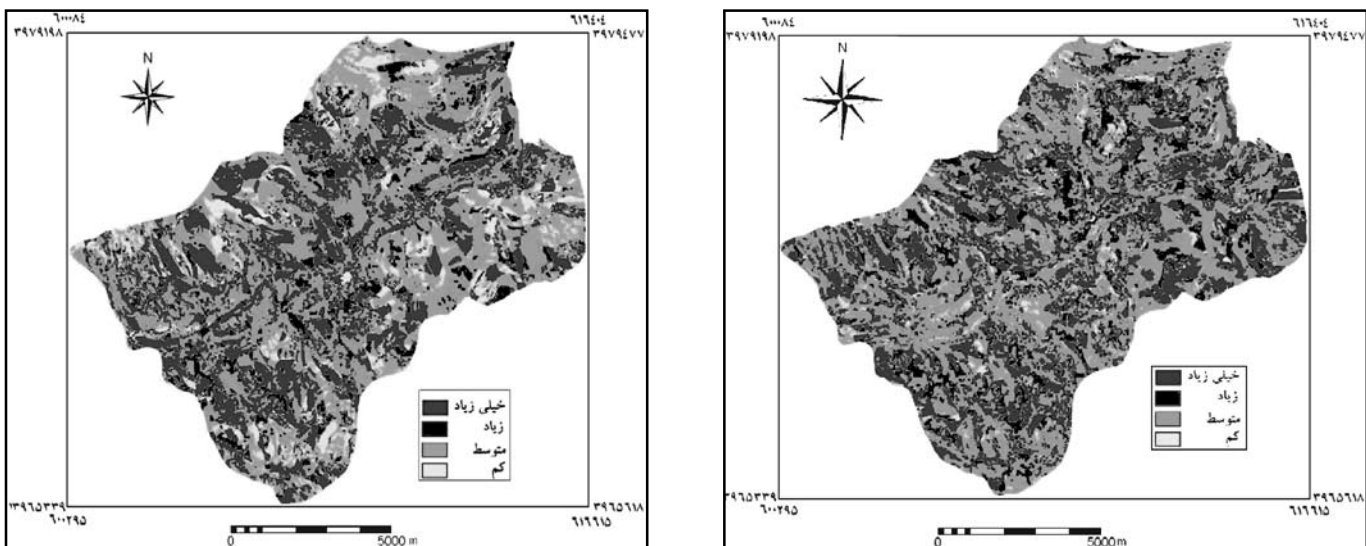
| ردیف | کاربری      | مساحت لغزش(A) | مساحت طبقات(B) | تراکم سطح<br>(C/D)/(A/B) |
|------|-------------|---------------|----------------|--------------------------|
| ۱    | مرتع خوب    | ۲۶۴۰          | ۲۴۹۹۳۵۲۴       | ۱/۱۹۵۹۰۵                 |
| ۲    | مرتع متوسط  | ۳۸۵۳          | ۷۳۳۷۶۲۴۴       | ۰/۵۹۶۵۵۹                 |
| ۳    | باغ-کشاورزی | ۲۲۳۵          | ۱۵۳۷۲۰۵۲       | ۱/۷۵۵۹۹۶                 |
| ۴    | مسکونی      | ۱۴۱۰          | ۳۳۷۴۵۳         | ۸/۲۶۰۰۸۲                 |

جدول ۷- پراکنش لغزش در طبقات مختلف ارتفاع بر حسب متر

| ردیف | طبقات ارتفاع | مساحت لغزش(A) | مساحت طبقات(B) | تراکم سطح<br>(C/D)/(A/B) |
|------|--------------|---------------|----------------|--------------------------|
| ۱    | ۱۲۰۰-۱۵۰۰    | ۰             | ۲۸۰۸۷۴۷        | ۰/۰۰۴۰۶۳                 |
| ۲    | ۱۵۰۰-۱۸۰۰    | ۲۸۳۰          | ۱۵۶۷۲۵۹۰       | ۲/۰۳۸۰۳۶                 |
| ۳    | ۱۸۰۰-۲۱۰۰    | ۴۲۸۵          | ۳۰۲۷۳۷۶۷       | ۱/۵۹۷۵۱۷                 |
| ۴    | ۲۱۰۰-۲۴۰۰    | ۲۲۰۰          | ۳۰۵۸۴۶۶۷       | ۰/۸۱۱۸۵۱                 |
| ۵    | ۲۴۰۰-۲۷۰۰    | ۷۸۵           | ۲۰۸۹۲۲۸۱       | ۰/۴۲۲۰۴۱                 |
| ۶    | ۲۷۰۰-۳۰۰۰    | ۳۸            | ۱۲۵۵۵۲۱۰       | ۰/۰۳۴۱۹۹                 |
| ۷    | >۳۰۰۰        | ۰             | ۱۶۳۱۳۶۹        | ۰/۰۰۶۸۸۵                 |

جدول ۸- پراکنش لغزش در طبقات مختلف جهت شب

| ردیف | جهت شب | مساحت لغزش (A) | مساحت طبقات | تراکم سطح<br>(C/D)/(A/B) |
|------|--------|----------------|-------------|--------------------------|
| ۱    | N      | ۲۶۹۰           | ۳۲۸۱۲۹۸۱    | ۰/۹۲۵۲۸۲                 |
| ۲    | E      | ۱۶۹۰           | ۳۰۳۶۹۸۱۸    | ۰/۹۲۸۱۰۴                 |
| ۳    | S      | ۲۵۷۵           | ۲۹۷۴۱۹۸۷    | ۰/۹۷۷۲۰۱                 |
| ۴    | W      | ۳۱۸۰           | ۲۰۵۴۴۶۲۸    | ۱/۷۴۷۰۶۵                 |



شکل ۴- نقشه پهنه‌بندی خطر زمین‌لغزش با استفاده از مدل ارزش اطلاعات AHP

شکل ۳- نقشه پهنه‌بندی خطر زمین‌لغزش با استفاده از مدل ارزش اطلاعات LNRE

### كتابنگاري

- احمدی، ح، اسماعیلی، ا، فیض نیا، س. و شریعت جعفری، م، ۱۳۸۲- پهنه‌بندی خطر حرکت‌های توده‌ای با استفاده از دو روش رگرسیون چند متغیره (MR) و تحلیل سلسه مراتبی سیستم‌ها (AHP)، مطالعه موردنی حوزه آبخیز گرمی چای، مجله منابع طبیعی ایران جلد ۵۶ شماره ۴، ص ۳۳۵-۳۲۳.
- احمدی، ح، محمدخان، ش، فیض نیا، س. و قدوسی، ج، ۱۳۸۴- ساخت مدل منطقه‌ای خطر حرکت‌های توده‌ای با استفاده از ویژگی‌های کیفی و تحلیل سلسه مراتبی سیستم‌ها (AHP)، مطالعه موردنی حوزه آبخیز طالقان، مجله منابع طبیعی ایران، ۵۸: ۱۴-۲.
- سفیدگری، ر، غیومیان، ج، و فیض نیا، س، ۱۳۸۴- ارزیابی روش‌های پهنه‌بندی خطر زمین‌لغزش در مقیاس ۱:۵۰۰۰۰، مطالعه موردنی حوزه آبخیز دماوند. مجموعه مقالات سومین همایش ملی فرسایش و رسوب، مرکز تحقیقات حفاظت خاک و آبخیزداری، ص ۵۷۴-۵۸۰.
- سیارپور، م، ۱۳۷۸- پهنه‌بندی پتانسیل خطر زمین‌لغزش در جنوب خلخال، پایان‌نامه کارشناسی ارشد دانشگاه تهران، ۹۳ص.
- شادرف، ص، یمانی، م. و نمکی، م، ۱۳۸۴- پهنه‌بندی خطر زمین‌لغزش با استفاده از مدل‌های ارزش اطلاعاتی، تراکم سطح و LNRE در حوزه چالکرود، مجله آب و آبخیز، ۶۲-۶۸: ۳.
- شیروانی، ک، غیومیان، ج. و مختاری، ا، ۱۳۸۴- بررسی و ارزیابی روش‌های آماری دومتغیره و چندمتغیره در پهنه‌بندی خطر زمین‌لغزش (مطالعه موردنی حوزه رودخانه ماربر). مجله آب و آبخیز، ۲: ۴۷-۴۶.
- فاطمی عقدا، م، غیومیان، ج. و اشقلی فراهانی، ع، ۱۳۸۲- ارزیابی کارایی روش‌های آماری در تعیین پتانسیل خطر زمین‌لغزش. مجله علوم زمین، ۱۱: ۴۷-۵۸.
- فتاحی، م، ع، ۱۳۷۹- بررسی و ارزیابی کارایی مدل‌های پهنه‌بندی خطر زمین‌لغزش و تکنیک سنجش از دور و سیستم اطلاعات جغرافیایی در حوزه آبخیز لنیان، پایان‌نامه کارشناسی ارشد آبخیزداری، مرکز آموزش عالی امام خمینی قدسی پور، س، ح، ۱۳۸۴- مباحثی در تصمیم‌گیری چند معیاره، فرایند تحلیل سلسه مراتبی، انتشارات دانشگاه صنعتی امیر کبیر، چاپ چهارم، ۲۲۰ص.
- کلارستاقی، ع، ۱۳۸۱- بررسی عوامل مؤثر بر وقوع زمین‌لغزش‌ها و پهنه‌بندی خطر زمین‌لغزش در حوزه آبخیز شیرین رود ساری، پایان‌نامه کارشناسی ارشد آبخیزداری، دانشکده منابع طبیعی دانشگاه تهران، ۱۴۱ص.

- محمدخان، ش.، ۱۳۸۰- ساخت مدل منطقه‌ای خطر حرکات توده‌ای با استفاده از ویژگی‌های کیفی و تحلیل سلسله مراتبی سیستم‌ها، مطالعه موردنی حوزه آبخیز طالقان، پایان‌نامه کارشناسی ارشد آبخیزداری دانشکده منابع طبیعی دانشگاه تهران، ۱۴۰ ص.
- محمدی، م.، پورقاسمی، ح. ر.، مرادی، ح. ر. و داودی، م.، ۱۳۸۶- کاربرد فرآیند تحلیل سلسله مراتبی و GIS در شناسایی مناطق مستعد زمین‌لغزش، پنجمین کنفرانس زمین‌شناسی مهندسی و محیط زیست ایران، ۶ تا ۸ اسفند ماه، ۳۴.
- محمدی، م.، پورقاسمی، ح. ر.، مرادی، ح. ر. و فیض‌نیا، س.، ۱۳۸۶- آنالیز خطر زمین‌لغزش در محیط GIS و کاربرد آن در امر حفاظت آب و خاک، چهارمین همایش ملی علوم و مهندسی آبخیزداری ایران- مدیریت حوزه‌های آبخیز، یکم و دوم اسفند ماه، ۳۲۳.

## References

- Ayalew, L., Yamagishi, H., Marui, H. & Kanno, T., 2005- Landslide in Sado Island of Japan: part II. GIS-based susceptibility mapping with comparisons of results from two methods and verifications. Engineering Geology, 81: 432-445.
- Ayalew, L. & Yamagishi, H., 2005 -The Application of GIS – based logistic regression for landslide susceptibility mapping in the Kakuda-Yahiko Mountains, central Japan. Geomorphology 65:15-31pp.
- Duman, T. Y., Can, T., Gokceoglu, C., Nefeslioglu, H. A., Sonmez, H., 2006 - Application of logistic regression for landslide susceptibility zoning of Cekmece Area, Istanbul, Turkey, Environmental Geology, 51, 241-256.
- Komac, M., 2006- A landslide susceptibility model using the Analytical Hierarchy Process method and multivariate statistics in perialpine Slovenia. Geomorfology 74: 17-28.
- Lan, H. X., Zhou, C. H., Wang, L. J., Zhang, H. Y. & Li, R. H., 2004- Landslide hazard spatial analysis and prediction using GIS in the Xiaojiang Watershed, Yunnan, China. Engineering Geology 76: 109-128.
- Lee, S., 2007-Application and verification of fuzzy algebraic operators to landslide susceptibility mapping, Environmental Geology, 52, 615-623.
- Neuhäuser, B. & Terhorst, B., 2006- Landslide susceptibility assessment using “weights of evidence” applied to a study area at the Jurassic escarpment (SW-Germany). Geomorfology 1-13.
- Ohlmacher, G. C. & Davis, J. C., 2003- Using multiple logistic regression and GIS technology to predict landslide hazard in Northeast Kansas, USA, Engineering Geology, 69: 331-343.
- Remendo, J., Gonzales, A., Teran, J., Cendrero, A., Fabbri, A. & Chung, C., 2003- Validation of landslide susceptibility maps, examples and applications from a case study in northern Spain, Natural Hazard, 437-449.

## Prioritization of Landslide Effective Factors and it's Hazard Mapping using Information Value and AHP Models (Case Study: A Part of Haraz Watershed)

M. Mohammady<sup>1</sup>, H.R. Morady<sup>2\*</sup>, S. Feiznia<sup>1</sup> & H.R. Pourghasemi<sup>1</sup>

<sup>1</sup> Tarbiat Modares University, Faculty of Natural Resource & Marine Science, Mazandaran, Iran

<sup>2</sup> Tehran University, Faculty of Natural Resource, Karaj, Iran.

Received: 2007 October 20 Accepted: 2009 January 03

### Abstract

Destruction and inordinate use of resources causes instability of natural slopes. Policymakers pay high attention to slopes instability investigation in order to supply zoning map to identify susceptible areas and stable location for the development of new settlements in the future. Iran especially in the north and Haraz road is always exposed to landslides hazard because of climatic and physiographic conditions. In order to prepare landslide susceptibility mapping, at first, landslide distribution map and the map of effective factors were supplied by field study. Then prioritization of effective factors was carried out using AHP method and seven factors were selected as most effective factor. Then landslide hazard zoning carried out using information value and AHP models. Results showed that Shemshak formation, fluvial terraces, distance of 500 meters from road, distance of 400 meters from drainage network, the west dip direction, slope of 15-50 percents, elevation of 1500-2100 meters, residential and agriculture-garden landuse have the highest landslide susceptibility.

**Key words:** Landslide, Landslide hazard map, Geographic information system, Information model, Analytical Hierarchy Process, Haraz.

For Persian Version see pages 27 to 32

\*Corresponding author: H. R. Morady, Email: MoradySh@yahoo.com